

## Radio-HPLC에 의한 [<sup>3</sup>H]-Benzo(a)pyrene 대사물의 분석

오은주 · 김현표 · 허문영 · 김경호 · 박만기\*

강원대학교 약학대학, \*서울대학교 약학대학

(Received August 20, 1990)

### Analysis of [<sup>3</sup>H]-Benzo(a)pyrene Metabolites by HPLC with Radioactive Flow Detection

Eun Joo Oh, Hyun Pyo Kim, Moon Young Heo, Kyeong Ho Kim and Man Ki Park\*

College of Pharmacy, Kangwon National University, Chuncheon 200-701, Korea

\*College of Pharmacy, Seoul National University, Seoul 151-742, Korea

**Abstract**—A modified method was investigated for the determination of benzo(a)pyrene metabolites generated by the rat liver microsomes based on the HPLC technique with radioactive flow detection. By adding [<sup>3</sup>H]-dexamethasone to the B(a)P metabolites mixture metabolized by the microsome, the poor yield of solvent extaction of B(a)P metabolites was compensated.

**Keywords** □ Radio-HPLC, B(a)P metabolites.

Benzo(a)pyrene[B(a)P]은 환경오염물질로서 대표적인 발암제 중의 하나이다. B(a)P는 그 자체로서는 생물학적으로 무해하나 microsomal cytochrome P-450에 의한 대사물이 유해하다.<sup>1)</sup> B(a)P의 효소에 의한 대사기전 및 그 입체화학적 고찰에 관한 총설이 보고되었으며,<sup>2)</sup> 대표적인 B(a)P 대사물로서 1-monohydroxy, 3-monohydroxy, 7-monohydroxy, 9-monohydroxy, 9,10-diol, 4,5-diol, 7,8-diol, 1,6-quinone, 3,6-quinone과 6,12-quinone 등을 들 수 있다.<sup>3,4)</sup>

B(a)P 대사물의 분석법으로 column chromatography,<sup>5,6)</sup> thin-layer chromatography,<sup>7)</sup> gas chromatography-mass spectrometry<sup>8)</sup> 그리고 HPLC 법 등이 보고되어 있다. Okano 등<sup>9)</sup>은 reverse phase HPLC에 의하여 B(a)P 대사물을 분리하고 radio labelled 된 각 성분 분획을 취하여 liquid scintillation counter를 이용하여 미량정량하는 방법을 사용하였다. 최근 HPLC의 radioactive flow detector가 개발되어 신속·정확하게 radio-labell 된 미량의 B(a)P 대사물을 분석하게 되었

다.<sup>10)</sup>

저자 등은 쥐의 간 microsome에 의해 대사된 [<sup>3</sup>H]-B(a)P 대사물을 Okano 등의 방법<sup>9)</sup>으로 용매추출하여 Radio-HPLC로 분석을 시도했으나 그 추출률과 재현성이 불량하였다. 이에 [<sup>3</sup>H]-dexamethasone을 추출률을 보정하기 위한 기준물질로 사용하여 양호한 결과를 얻었다.

### 실험방법

**시약 및 재료**—[<sup>3</sup>H]-B(a)P(61.7 Ci/mmol)과 [<sup>3</sup>H]-dexamethasone은 Dupont 사에서 구입하여 사용하기 직전 아래의 B(a)P 대사물의 분석조건(역상 액체크로마토그래피)으로 정제하여 사용하였다. 실험하기 직전에 [<sup>3</sup>H]-B(a)P를 specific activity가 0.36 μCi/nmol이 되도록 회석하고 B(a)P 대사물의 분석조건과 같은 조건하에서 HPLC로 정제하였다. [<sup>3</sup>H]-B(a)P 분획을 취하고 질소가스로 농도가 3.4 μCi/10 μl가 되도록 농축하였다. Retention time을 확인하기 위한 B(a)P 대사물

즉 3-monohydroxy, 4,5-diol, 7,8-diol, 9,10-diol, 1,6-dione, 3,6-dione 과 6,12-dione 은 NCI에서 구입하여 사용하였다. B(a)P, NADPH, vitamin E 및 dexamethasone 은 Sigma 사에서 구입하였고, scintillation cocktail(Flo-Scint II<sup>R</sup>) 용액은 Radiomatic 사에서 구입하여 사용하였다. HPLC 용 용매는 Pierce 사 제품을 사용하였고, 기타 시약들은 모두 특급을 사용하였다.

**기기 및 측정조건**—Shimadzu HPLC system, 즉 2대의 LC-6A pump, Rheodyne Injector, SPD-6AV UV-VIS spectrophotometric detector, SCL-6A system controller와 C-R4AD chromatopac data processor 를 사용하였다. 컬럼은 Shimpact CLC ODS(6.0 mm i.d.×15 cm long)을 사용하였다. 또 Radiomatic Flow-one/beta Model A-250 radiation detector(500  $\mu$ l flow cell)과 Epson LQ-850 printer 를 사용하였다.

컬럼에서 분리된 각 성분이 UV-VIS detector 를 통과한 후 radiation flow detector 를 통과하도록 연결하였다. 이동상의 유속은 0.8 ml/min, Scintillation cocktail 용액의 유속은 2.4 ml/min로 하였고, update time 은 2 sec로 하였다. B(a)P 대사물 및 dexamethasone 의 retention time 은 UV 254 nm에서 검출한 B(a)P 대사물 표준품 및 dexamethasone 표준품의 retention time 으로 확인하였다. 각각의 B(a)P 대사물의 CTS 값은 해당 peak 의 CTS 값에서 microsomal protein 을 넣지 않은 control 의 해당 시간대의 CTS 값을 뺀 값으로 결정하였다.

**실험동물**—서울대학교 동물실에서 약 4주 정도된 ICR male mouse 를 구입하여 강원대학교 약학대학 동물사육실에서 다시 2주 정도 키워 약 23g 된 mouse 를 사용하였다. 사료는 삼양유지사료(주)의 mouse 용 배합사료(조단백질 22.1%, 조지방 3.5%, 조섬유 5.0%, 회분 8.0%, 칼슘 0.6%, 인 0.4%)를 사용하였다. 동물실 조명은 9:00 AM에 점등, 9:00 PM에 소동시켜 12시간 간격을 dark-light cycle 을 조절하였다.

**간 microsomal fraction 의 조제**—mouse 를 decapitation 시켜 간을 꺼내고 0.25 M sucrose 로 간 표면을 씻고 여기에 간 중량의 3배되는 pH 7.4 tris buffer(0.25 M sucrose 함유)를 가하여 ho-

mogenize 시켰다. 이를 10,000×g 로 15분간 2회 원심분리하여 상층액을 얻어 다시 105,000×g 로 1시간 동안 초원심분리하여 pellet 를 취해 여기에 pH 7.5 phosphate buffer 2.0 ml 를 가해 microsomal fraction 를 만들었다. 그리고 microsome 의 protein 양은 Lowry 법<sup>11)</sup>으로 정량하였다.

**B(a)P 대사물 표준품과 Dexamethasone 의 HPLC 분석**—B(a)P 대사물 즉 3-monohydroxy, 4,5-diol, 7,8-diol, 9,10-diol, 1,6-dione, 3,6-dione 과 6,12-dione 각각 2 mg 과 dexamethasone 20 mg 을 각각 200  $\mu$ l methanol 에 용해하였다. Shimpact CLC ODS column 을 고정상으로 하고, UV 254 nm에서 검출하여, 유속 2 ml/min 의 90%, 80%, 70%, 60% methanol 하에서의 retention time 을 측정하였고 capacity factor, selectivity factor 를 계산하였다. 각 표준품의 동량 혼합액을 조제하고 methanol-물의 여러 가지 gradient elution 을 시행하여 분리가 가장 양호한 이동상의 조건을 검토하였다.

**B(a)P 대사반응**—2.1 mg 의 microsomal protein 을 3.2  $\mu$ mol MgCl<sub>2</sub> 가 함유된 0.05 M phosphate buffer(pH 7.5)에 가하고 또 0.1  $\mu$ mol NADPH 를 가하여 1.0 ml 가 되도록 하였다. [<sup>3</sup>H]-B(a)P 희석용액 20  $\mu$ l(6.8  $\mu$ Ci 해당) 를 가하여 반응을 시작하였다. 이를 37°C에서 진탕하면서 40분간 incubation 하였다. 열음에서 냉각시킨 acetone 1.0 ml 를 가하여 반응을 멈추었다.

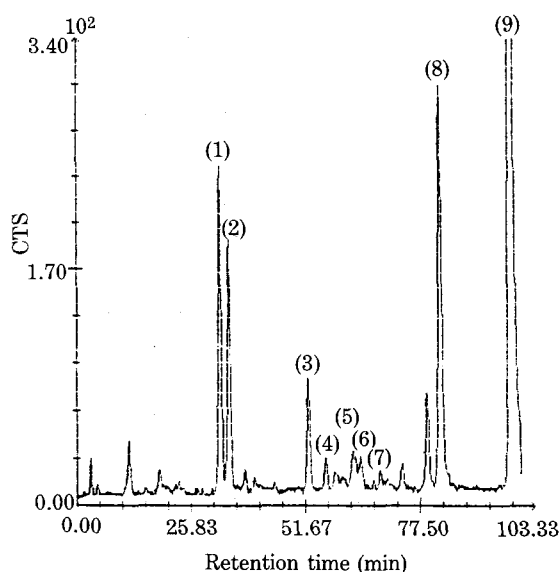
**B(a)P 대사물의 추출**—[<sup>3</sup>H]-Dexamethasone(1  $\mu$ Ci/ $\mu$ l) 2  $\mu$ l 를 [<sup>3</sup>H]-B(a)P 와 같은 방법으로 정제하여 질소가스로 증발하고 acetone 200  $\mu$ l 에 용해한 후, 이 중 20  $\mu$ l 를 위의 반응시험관에 넣었다. 1.0 mM vitamin E 를 함유한 ethylacetate 2.0 ml 를 가하여 B(a)P 대사물을 추출하였다. 유기 용매층을 분리하고 남은 수층을 1.0 mM vitamin E 를 함유한 acetone-ethylacetate(1:2, v/v) 혼액 1.0 ml 로 2회 추출을 반복하여 유기용매층을 합하고 무수 MgSO<sub>4</sub>로 탈수한 후 질소가스로 증발 건고 시켰다. 이를 1.0 mM vitamin E 를 함유한 methanol-tetrahydrofuran(1:1, v/v) 혼액 50  $\mu$ l 에 용해한 후 그 중 20  $\mu$ l 를 HPLC에 주입하였다.

**[<sup>3</sup>H]-Dexamethasone 과 [<sup>3</sup>H]-B(a)P 의 검량**

**Table I**—Retention behaviors of B(a)P metabolites-Effect of the methanol concentration.

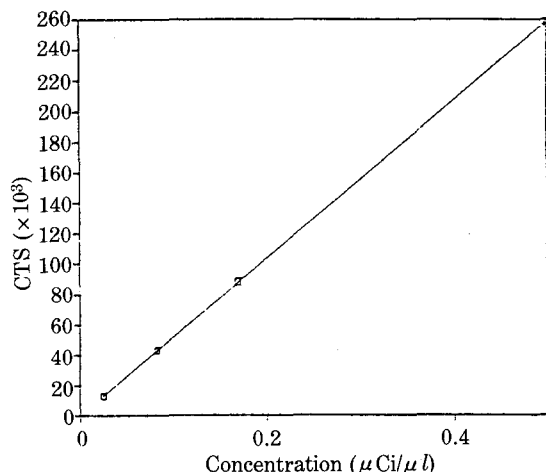
| B(a)P Metabolites | *90%  |          | *80%  |          | *70%   |          | *60%    |          |
|-------------------|-------|----------|-------|----------|--------|----------|---------|----------|
|                   | k     | $\alpha$ | k     | $\alpha$ | k      | $\alpha$ | k       | $\alpha$ |
| 9,10-diol         | 0.204 |          | 0.514 |          | 1.248  |          | 3.487   |          |
| Dexamethasone     | 0.204 | 1.000    | 0.518 | 1.008    | 1.294  | 1.037    | 3.727   | 1.069    |
| 4,5-diol          | 0.526 | 2.578    | 1.414 | 2.730    | 4.113  | 3.179    | 12.596  | 3.380    |
| 7,8-diol          | 0.705 | 1.340    | 1.839 | 1.301    | 4.954  | 1.204    | 15.708  | 1.247    |
| 1,6-dione         | 1.287 | 1.826    | 2.793 | 1.519    | 6.489  | 1.310    | 18.372  | 1.170    |
| 3,6-dione         | 1.371 | 1.065    | 2.992 | 1.071    | 7.326  | 1.129    | 20.297  | 1.105    |
| 6,12-dione        | 1.747 | 1.274    | 3.941 | 1.317    | 9.338  | 1.274    | 27.774  | 1.368    |
| 3-monohydroxy     | 2.025 | 1.159    | 6.453 | 1.637    | 23.618 | 2.531    | 152.191 | 5.597    |

(k: capacity factor,  $\alpha$ : separation factor, \*: concentration of methanol)



**Fig. 1**—Chromatogram of B(a)P metabolites generated by liver microsomes and dexamethasone. Liver microsomes were incubated with [<sup>3</sup>H]-dexamethasone were extracted and separated by HPLC. The CTS of the metabolites and dexamethasone were monitored by a radiation flow detector. (1): 9,10-diol (2): Dexamethasone (3): 4,5-diol (4): 7,8-diol (5): 1,6-dione (6): 3,6-dione (7): 6,12-dione (8): 3-monohydroxy (9): B(a)P.

선의 작성—B(a)P 대사물과 같은 HPLC 분석 조건에서 [<sup>3</sup>H]-Dexamethasone 용액을 0.01~0.2  $\mu\text{Ci}/\mu\text{l}$  농도 범위에서, [<sup>3</sup>H]-B(a)P 용액을 0.025~0.5  $\mu\text{Ci}/\mu\text{l}$ 의 농도 범위에서 20  $\mu\text{l}$  씩 주입하여 각 peak의 CTS 값을 측정하여 농도와의 상관계수를 구하였다.



**Fig. 2**—Calibration curve of [<sup>3</sup>H]-B(a)P. The best straight line is defined by the eq.,  
 $y = 517485x - 7762$  ( $r = 0.9986$ ).

## 결과 및 고찰

90%, 80%, 70%, 60% methanol에서 각 B(a)P 대사물과 dexamethasone의 capacity factor와 separation factor를 조사하였다 (Table I). Elution order는 9,10-diol, dexamethasone, 4,5-diol, 7,8-diol, 1,6-dione, 3,6-dione, 6,12-dione, 3-monohydroxy의 순이었으며 solvent strength가 감소함에 따라 capacity factor와 selectivity가 증가하였으나, 9,10-diol과 dexamethasone은 60% methanol에서의 separation factor가 1.069로 나타나 분리를 위해서는 solvent strength를 더 낮출 필요가 있음을 알 수 있었다.

B(a)P 대사물과 dexamethasone의 혼합물의

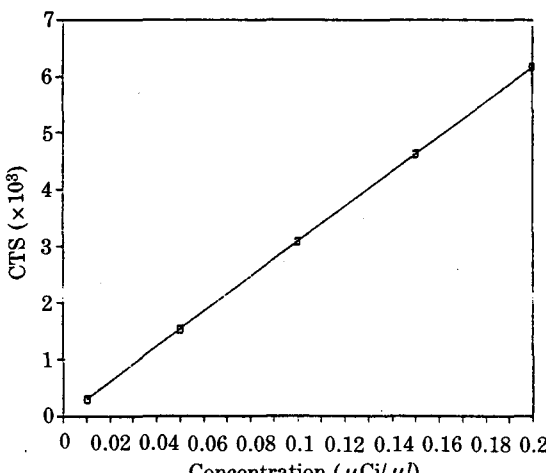


Fig. 3—Calibration curve of  $[^3\text{H}]$ -Dexamethasone. The best straight line is defined by the eq.,  $y = 30834x$  ( $r = 0.9993$ ).

효과적인 분리를 위해 40% methanol (pump A)과 100% methanol (pump B)로 gradient elution을 실시하였다. Total flow rate를 0.8 ml/min로 하고 A pump를 15 분간 100% elution하고 그 후 B pump를 55 분까지 50%로, 70 분까지 100%로 하고 105 분까지 100%를 유지하는 multiple linear gradient 조건에서 혼합물을 양호하게 분리할 수 있었다. 이 조건하에서 쥐 간 microsomal protein에 의해 대사된 B(a)P 대사물과 첨가한 dexamethasone의 혼합물을 분리하고 radioactive flow detector로 검출한 전형적인 chromatogram은 Fig. 1과 같다.

4 개의 같은 시료를 분석한 결과 그 측정치의 편

차가 매우 커서 9,10-diol, 4,5-diol, 7,8-diol, 1,6-dione, 3,6-dione, 3-monohydroxy의 경우 각각  $69.4 \pm 67.5$ ,  $26.1 \pm 26.2$ ,  $8.3 \pm 9.2$ ,  $18.9 \pm 13.9$ ,  $11.1 \pm 9.7$ ,  $109.2 \pm 108.1$  ( $\text{CTS} \pm \text{S.D.}/\text{mg protein}/40 \text{ min}$ )로 나타났다. 또한 대사반응이 끝난 후 추출직전에 추출률을 알기 위해 가한  $[^3\text{H}]$ -dexamethasone은  $165.5 \pm 162.3$  ( $\text{CTS} \pm \text{S.D.}$ )로서 그 평균 추출률이 약 26.9%로 매우 불량하였다.

추출률을 보정하기 위해 기준물질로서 대사되지 않은  $[^3\text{H}]$ -B(a)P와 첨가한  $[^3\text{H}]$ -dexamethasone의 농도에 따른 CTS 값을 측정하였더니 각각  $0.025 \sim 0.5 \mu\text{Ci}/\mu\text{l}$  와  $0.01 \sim 0.20 \mu\text{Ci}/\mu\text{l}$ 의 농도범위에서 상관계수가 0.9986과 0.9993으로 양호한 직선성을 나타내었다.

각 시료를 분석한 chromatogram 상의  $[^3\text{H}]$ -B(a)P의 CTS 값을 각 시료에 가한  $[^3\text{H}]$ -B(a)P와 동량을 시료와 같은 분석조건에서 측정하여 얻은 CTS 값과 같게 되도록 chromatogram 상의 B(a)P 대사물들의 CTS 값을 환산하였다. 이 값을 다시 가한 microsomal protein 1 mg 당 CTS 값으로 환산하여 회수율을 보정하였다 (Table II의 방법 II). 또한, 같은 방법으로 첨가한  $[^3\text{H}]$ -dexamethasone을 기준으로 회수율을 보정하였다 (Table II의 방법 III).

$[^3\text{H}]$ -B(a)P를 기준으로 보정한 값들은  $[^3\text{H}]$ -dexamethasone을 기준으로 보정한 값들과 약간의 편차를 보였는데 이는 chromatogram 상의  $[^3\text{H}]$ -B(a)P의 CTS 값은 일부가 대사되고 남은  $[^3\text{H}]$ -B(a)P에 기인한 것인가 때문이라 사료되며,

Table II—Comparison of the values of B(a)P metabolites according to the conversion methods

| Method*    | 9,10-diol                        |           | 4,5-diol                         |        | 7,8-diol                         |        | 1,6-dione                        |        | 3,6-dione                        |        | 3-OH                             |        | Mean<br>of**** |     |
|------------|----------------------------------|-----------|----------------------------------|--------|----------------------------------|--------|----------------------------------|--------|----------------------------------|--------|----------------------------------|--------|----------------|-----|
|            | Values**                         | R.S.D.*** | Values                           | R.S.D. | R.S.D.         |     |
|            | ( $\text{CTS} \pm \text{S.D.}$ ) | (%)       | ( $\text{CTS} \pm \text{S.D.}$ ) | (%)    | ( $\text{CTS} \pm \text{S.D.}$ ) | (%)    | ( $\text{CTS} \pm \text{S.D.}$ ) | (%)    | ( $\text{CTS} \pm \text{S.D.}$ ) | (%)    | ( $\text{CTS} \pm \text{S.D.}$ ) | (%)    | (%)            | (%) |
| Method I   | 69.4 ± 67.5                      | 97.3      | 26.1 ± 26.2                      | 100.4  | 8.3 ± 9.2                        | 110.8  | 18.9 ± 13.9                      | 73.5   | 11.1 ± 9.7                       | 87.4   | 109.2 ± 108.1                    | 99.0   | 94.70          |     |
| Method II  | 262.3 ± 37.9                     | 14.4      | 147.9 ± 36.4                     | 24.6   | 86.2 ± 30.5                      | 35.4   | 133.9 ± 44.5                     | 33.2   | 92.1 ± 29.2                      | 31.7   | 467.1 ± 67.8                     | 14.5   | 25.63          |     |
| Method III | 259.0 ± 12.6                     | 4.9       | 97.5 ± 24.6                      | 25.2   | 27.7 ± 3.5                       | 12.6   | 85.5 ± 17.9                      | 20.9   | 44.1 ± 9.5                       | 21.5   | 406.2 ± 86.8                     | 21.4   | 17.75          |     |

\*Method I; Without conversion (the raw data from the chromatograms of B(a)P metabolites generated by liver microsomes. Method II; Conversion of the raw data with the  $[^3\text{H}]$ -B(a)P values from the each chromatogram. Method III; Conversion of the raw data with the value of  $[^3\text{H}]$ -dexamethasone add to the each sample.

\*\* Mean of 4 determinations ( $\text{CTS} \pm \text{S.D.}/\text{mg protein}/40 \text{ min}$ )

\*\*\* Relative standard deviation (%)

\*\*\*\* Mean of relative standard deviations of values of 6 B(a)P metabolites calculated by each method (%).

[<sup>3</sup>H]-dexamethasone을 기준물질로 사용한 경우 평균 상대표준편차가 17.75%로서 추출률에 의한 편차를 크게 줄일 수 있었다.

## 결 론

Radio HPLC를 이용한 B(a)P 대사물의 *in vitro* 실험에서 그 회수율을 보정하기 위한 기준물질로서 [<sup>3</sup>H]-dexamethasone의 적용을 검토하였다. 그 결과

1. [<sup>3</sup>H]-Dexamethasone은 0.01~0.20 μCi/μl 농도 범위에서 상관계수가 0.9993으로 매우 양호한 직선성을 나타내었다.

2. B(a)P 대사물과 dexamethasone은 40% methanol과 100% methanol을 이용한 multiple linear gradient elution으로 양호하게 분리할 수 있었다.

3. [<sup>3</sup>H]-Dexamethasone을 기준물질로 사용하였더니 B(a)P 대사물들의 측정치의 평균 상대표준편차가 17.75%로 나타났으며 추출률의 편차를 크게 보정할 수 있었다.

## 감사의 말씀

본 연구는 1989년도 문교부 유전공학 연구비의 지원에 의해 이루어졌음을 감사드립니다.

## 문 현

- 1) Nebert, D.W. and Gelboin, H.V.: The *in vivo* and *in vitro* induction of aryl hydrocarbon hydroxylase in mammalian cells of different species, tissues, strains and developmental and hormonal states. *Arch. Biochem. Biophys.*, **134**, 76 (1969).
- 2) Gelboin, H.V.: Benzo(a)pyrene metabolism, activation, and carcinogenesis: role and regulation of mixed-function oxidase and related enzymes. *Physiol. Rev.*, **60**, 1107 (1980).

- 3) Selkirk, J.K., Croy, R.G. and Gelboin, H.V.: High pressure liquid chromatographic separation of 10 benzo(a)pyrene phenols and the identification of 1-phenol and 7-phenol as new metabolites. *Cancer Res.*, **36**, 922 (1976).
- 4) Yang, S.K., Selkirk, J.K., Plotkin, E.V. and Gelboin, H.V.: Kinetic analysis of the metabolism of benzo(a)pyrene to phenols dihydrodiols and quinones by high pressure chromatography compared to analysis by aryl hydrocarbon hydroxylase assay, and the effect of enzyme induction. *Cancer Res.*, **35**, 3642 (1975).
- 5) Autrup, H.: Separation of water-soluble metabolites of benzo(a)pyrene formed by cultured human colon. *Biochem. Pharmacol.*, **28**, 1727 (1979).
- 6) Sims, P., Grover, P.L., Swaisland, A., Pal, K. and Hemer, A.: Metabolic activation of benzo(a)pyrene proceeds by a diol-epoxide. *Nature*, **252**, 326 (1974).
- 7) Waterfall, J.F. and Sims, P.: Epoxy derivatives of aromatic polycyclic hydrocarbons. The preparation and metabolism of epoxides related to benzo(a)pyrene and 7,8- and 9,10-dihydrobenzo(a)pyrene. *Biochem. J.*, **128**, 265 (1972).
- 8) Takahasi, G., Kinoshita, K., Hashimoto, K. and Yasuhira, K.: Identification of benzo(a)pyrene metabolites by gas-chromatograph-mass spectrometer. *Cancer Res.*, **39**, 1814 (1979).
- 9) Okano, P., Miller, H.N., Robinson, R.C. and Gelboin, H.V.: Comparison of benzo(a)pyrene and (-)-trans-7,8-dihydroxyl-7,8-dihydrobenzo(a)pyrene metabolism in human blood monocytes and lymphocytes. *Cancer Res.*, **39**, 3184 (1979).
- 10) Gessner, T. and Byczkowski, J.Z.: A simplified method for determination of radioactive metabolites of benzo(a)pyrene using HPLC with radioactive flow detection. *Progress in HPLC.*, **3**, 149 (1988).
- 11) Lowry, O.H., Rosebrough, N.J., Farr, A.L. and Randall, R.J.: Protein measurement with Folin phenol reagent. *J. Biol. Chem.*, **193**, 265 (1951).